

(©) 1990

ЗАХВАТ ЧАСТОТЫ В ЛАЗЕРЕ С РЕЗОНАТОРОМ,
СОДЕРЖАЩИМ КОЛЬЦЕВОЙ
АНТИРЕЗОНАНСНЫЙ ИНТЕРФЕРОМЕТР

М.В. Данилеко, А.М. Негрийко,
В.М. Ходаковский

Газоразрядная поглощающая ячейка, ввиду радиальной неоднородности поглощающих атомов в разряде, обладает линзоподобными свойствами и ей может быть приписана оптическая сила D_L , которая при настройке на крыло линии приближенно выражаются формулой (1):

$$D_L = \frac{Ne^2 f_L l}{2\pi m r_0^2 v_0 (v_0 - v)}, \quad (1)$$

где N – плотность поглощающих атомов на оси, f_L – сила осциллятора, e , m – заряд и масса электрона, l , r_0 – длина и радиус капилляра газоразрядной трубки (ГРТ), v_0 – частота атомного перехода, v – частота излучения. Помещение такой трубы в резонатор лазера приводит к возникновению дополнительной зависимости потерь от частоты, связанной с влиянием линзоподобных свойств среды на распределение поля в резонаторе, а, следовательно, на усиление и дифракционные потери в лазере [1-3]. Селективное по частоте уменьшение потерь в лазере, обусловленное таким влиянием, лежит в основе моделей, используемых для объяснения явления захвата частоты излучения широкополосного лазера узкими линиями атомарного газа [1-5]. В настоящей работе рассматривается новый механизм захвата частоты, который заключается в резонансном уменьшении потерь в резонаторе лазера с интерференционно-запертым выходом под действием линзоподобных свойств поглощающей внутрирезонаторной среды.

Для изучения данного механизма выбрана схема резонатора, содержащая кольцевой антирезонансный интерферометр (КАИ) (рис. 1). Такая схема не вносит дополнительных частотно-селективных потерь, нежелательных в экспериментах по внутрирезонаторной спектроскопии. Известно [6], что КАИ с плоскими зеркалами и 50%-й делительной пластиной P полностью отражает обратно падающее на него излучение, а потери в холостое плечо I_L отсутствуют. Рассмотрим влияние на величину потерь в холостое плечо параметров дополнительно помещаемой в КАИ оптической системы F с оптической силой D_F .

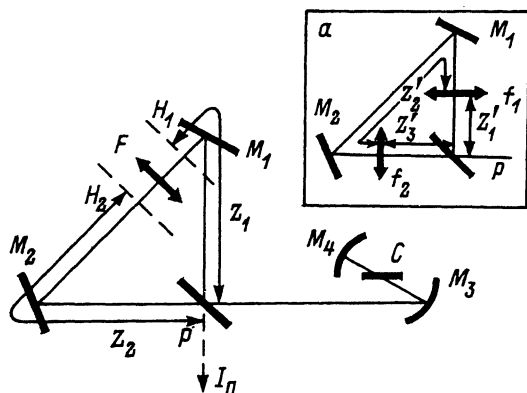


Рис. 1. $M_1 - M_4$ – зеркала резонатора лазера,
 P – полуупрозрачная пластина,
 F – внутрирезонаторная оптическая система,
 H_1, H_2 – главные плоскости системы,
 C – струя раствора красителя,
 f_1, f_2 – внутрирезонаторные линзы.

Пусть на КАИ падает пучок излучения с гауссовым поперечным распределением поля

$$E = \frac{2\sqrt{I_0}}{\sqrt{\pi\omega_0^2}} e^{-\frac{ikr^2}{2g_0}}, \quad (2)$$

где I_0 – интегральный поток мощности в падающем пучке, $\frac{1}{g_0} = \frac{1}{R_0} - \frac{i\lambda}{\pi\omega_0^2}$, g_0 – комплексный параметр пучка, R_0 , ω_0 – радиус кривизны фронта и радиус поперечного распределения поля в пучке на пластине P , $k = \frac{2\pi}{\lambda}$. После светоделителя P в КАИ распространяются два встречных пучка одинаковой интенсивности

$$E_+ = \sqrt{\frac{2I_0}{\pi\omega_+^2}} e^{-\frac{ikr^2}{2g_+}}, \quad (3a)$$

$$E_- = \sqrt{\frac{2I_0}{\pi\omega_-^2}} e^{-\frac{ikr^2}{2g_-}}, \quad (3b)$$

где знаками $-$ и $+$ отмечены параметры, относящиеся к пучкам, распространяющимся по $-$ и против часовой стрелки, соответственно. При этом $g_+(0) = g_-(0) = g_0$, а после обхода КАИ

$$g_+(L) = \frac{(F - z_2)g_0 + FL - z_1 z_2}{F - z_1 - g_0} , \quad (4a)$$

$$g_-(L) = \frac{(F - z_1)g_0 + FL - z_1 z_2}{F - z_2 - g_0} , \quad (4b)$$

L – периметр КАИ, z_1 и z_2 – расстояние от главных плоскостей оптической системы с фокусным расстоянием $F = \frac{1}{D_F}$ до пластины Р. Интегральный поток мощности в холостое плечо в результате интерференции двух гауссовых пучков с комплексными параметрами g_+ и g_- определяется выражением

$$I_n = \frac{1}{2} \int \operatorname{Re}(E_+^* - E_-^*)(E_+ - E_-) 2\pi r dr = \quad (5)$$

$$= \frac{(\omega_+ - \omega_-)^2 + \frac{\omega_+^4 \omega_-^4}{\omega_+^2 + \omega_-^2} \left[\frac{k}{2} \left(\frac{1}{R_+} - \frac{1}{R_-} \right) \right]^2}{\omega_+^2 + \omega_-^2 + \frac{\omega_+^4 \omega_-^4}{\omega_+^2 + \omega_-^2} \left[\frac{k}{2} \left(\frac{1}{R_+} - \frac{1}{R_-} \right) \right]^2} I_0 ,$$

где I_0 – интегральный поток мощности в падающем на КАИ пучке, $\frac{1}{R_{\pm}} = \frac{1}{R_{\pm}} - \frac{i\lambda}{\pi \omega_{\pm}^2}$. Из (5) видно, что при наличии в КАИ оптической системы потери в холостое плечо в общем случае не равны нулю из-за различия поперечных размеров и радиусов кривизны интерферирующих на Р гауссовых пучков. Можно показать, что при $R_0, F \gg L$

$$I_n \sim \left(\frac{z_1 - z_2}{F} \right)^2 . \quad (5a)$$

В частном случае оптической системы, составленной из двух тонких линз с фокусными расстояниями f_1 и f_2 , так что $\frac{1}{f} = \frac{1}{f_1} + \frac{1}{f_2} - \frac{z'_2}{f_1 f_2}$, выражение (5a) можно обратить в нуль, выбрав f_2 равным:

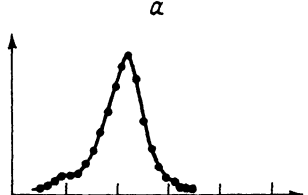
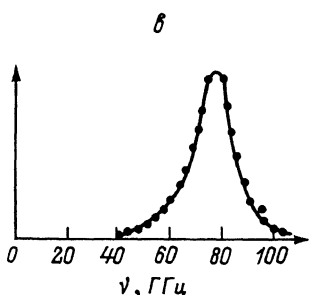
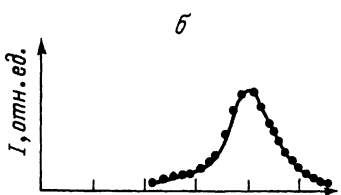


Рис. 2. Денситограмма спектра излучения в режиме ЗЧ линией неона ($\lambda = 594.5$ нм) (а, б): (а – $z'_3 = 87$ см; б – $z'_3 = 15$ см) и спектра излучения реперной ГРТ ($\lambda = 594.5$ м) (в).

$$f_2^{(o)} = \frac{(f_1 - z'_2)(z'_1 - z'_3) + z'_2 f_1}{z'_3 + z'_2 - z'_1}, \quad (6)$$



где z'_1, z'_2, z'_3 – расстояния между элементами системы (см. рис. 1, а).

Если в качестве линзы f_2 используется ГРТ, то, как видно из (1) и (6), при отстройке частоты излучения лазера от центра линии поглощения $\Delta\nu_o = \nu_o - \nu$, равной

$$\Delta\nu_o = \frac{e^2 N f_{\text{л}} l}{2 \pi m r_o^2 \nu_o f_2^{(o)}}, \quad (7)$$

оптическая сила ГРТ будет „оптимальной” с точки зрения минимизации потерь в холостое плечо. При этом частота излучения лазера будет близка к $\nu_1 = \nu_o - \Delta\nu_o$, т.е. в лазере имеет место захват частоты излучения широкополосного лазера линиями поглощения внутрирезонаторного газа.

Экспериментальная проверка данного механизма выполнена с использованием непрерывного лазера на красителе Родамин 6Ж (описание лазера см. [5]). КАИ образован зеркалами M_1 (плоское, $R = 99.8\%$), M_2 (сфера радиусом 400 см, $R = 98\%$) и светоделительной пластиной Р, одна из граней которой просветлена, а на вторую нанесено диэлектрическое покрытие с коэффициентом отражения 50 %. Периметр КАИ 102 см, $z'_1 = 30$ см. Внутрь КАИ помещалась ГРТ $l = 200$ мм, $r_o = 1$ мм, наполненная He-Ne смесью. Роль линзы f_1 играет зеркало M_2 ($f_1 = 200$ см) а линзы f_2 – ГРТ. Спектр излучения лазера контролировался с помощью спектрографа с дисперсией 3 Å/mm, для точного измерения отстройки от центра линии спектрограф скрещивался с интерферометром Фабри-Перо с базой 3 мм.

При помещении ГРТ в КАИ наблюдалось сужение линии излучения и ее локализация вблизи линии поглощения неона, т.е. наблю-

дался захват частоты. Знак и величина отстройки от центра линии определялись положением (значением расстояния z'_3) ГРТ в КАИ. На рис. 2 приведены спектры излучения лазера для случая захвата частоты линией неона $\lambda = 594.5$ нм при $z_3 = 87$ см (рис. 2, а, линия лазера локализована с длинноволновой стороны от центра линии поглощения) и $z'_3 = 15$ см (рис. 2, б, линия лазера локализована с коротковолновой стороны). На рис. 2, в, приведена денситограмма реперной линии неона. Используя данные о величине отстройки, полученные из обработки спектрограмм, по формуле (1) можно рассчитать фокусное расстояние линзы, эквивалентной ГРТ. Принимая для используемых в эксперименте условий разряда $N = 5 \cdot 10^{12} \text{ см}^{-3}$, $f_L = 0.056$, получим для $z'_3 = 15$ см $f_2^{(o)} = -100$ см; для $z'_3 = 87$ см $f_2^{(o)} = 650$ см. В то же время расчет фокусного расстояния "оптимальной" линзы по формуле (6) для тех же z'_3 дает $f_2^{(o)} = -350$ см; $f_2^{(o)} = 320$ см, соответственно. Как видно, приближенное выражение (6) позволяет правильно определить знак и порядок величины $f_2^{(o)}$, однако для адекватного описания используемой схемы необходимо рассмотреть и решить задачу о распределении поля в резонаторе лазера с КАИ.

Таким образом, в настоящей работе сообщается о первом экспериментальном наблюдении захвата частоты излучения широкополосного лазера линиями поглощения внутрирезонаторного газа, обусловленного резонансным уменьшением потерь в лазере под влиянием линзоподобных свойств поглощения на добротность резонатора с интерференционно-запертым выходом. Результаты представляют интерес для осуществления привязки частоты излучения широкополосного лазера к естественным реперам и для изучения методами ВРЛС линзовых эффектов в поглощающих средах.

Список литературы

- [1] Schröter S., Kühlke D., Dietel W. // Opt. and Quant. El. 1981. V. 13. P. 133-140.
- [2] Shank C.V., Klein M.B. // Appl. Phys. Lett. 1973. V. 23. N 3. P. 156-157.
- [3] Данилевко М.В., Негрийко А.М., Удовитская Е.Г., Ходаковский В.М., Яценко Л.П. // Opt. commun. 1986. V. 58. P. 30-34.
- [4] Данилевко М.В., Негрийко А.М., Ходаковский В.М., Яценко Л.П. // ЖТФ. 1985. Т. 55. С. 2139-2143.
- [5] Данилевко М.В., Войцехович В.С., Негрийко А.М., Ходаковский В.М., Яценко Л.П. // Препринт ИФ АН УССР № 15, Киев, 1988.
- [6] Siegman A.E. // IEEE J. of Quant. El. 1973. V. QE-9, N 2. P. 247-250.

Поступило в Редакцию
27 декабря 1989 г.